

Iranian Journal of Cotton Researches

ISSN: 2345-5306



Simulation of cotton growth stages using SSM-iCrop2 model

Ali Rahemi Karizaki^{1*}, Yaser Jafari Mofidabadi², Saeed Soltani²,
Mojtaba Salehi Sheikhi³

¹ Associate Professor, Department of Plant Production, Faculty of Agriculture and Natural Resources, Gonbad, Iran,
Email: alirahemi@yahoo.com

² Researcher of National Cotton Research Institute, Agricultural Research, Education and Extension Organization,
Gorgan, Iran

³ Ph.D. student of crop plant ecology, Gonbad Kavos University, Gonbad Kavos, Iran

Article Info

ABSTRACT

Article type:
Research Full Paper

Background and purpose: Cotton is the most important natural fiber crop globally and in Iran, where approximately 90,000 hectares are cultivated annually. The main cotton-producing provinces include Razavi Khorasan, Fars, South Khorasan, Golestan, North Khorasan, Semnan, and Isfahan. Reliable crop simulation models are valuable tools for assessing crop performance under diverse environmental and management conditions. This study aimed to evaluate the SSM-iCrop2 model for simulating cotton phenological development and growth under the environmental conditions of Bandargaz city, Golestan province. In the SSM-iCrop2 model, various aspects of plant growth and development are represented through phenological subprograms. The model operates on a daily time step and requires detailed weather data (maximum and minimum temperature, radiation, and precipitation) along with agricultural management information (planting date and genotype).

Article history:

Received: 6/1/2025

Accepted: 2/7/2025

Materials and methods: To evaluate the model's ability to simulate the developmental stages of newly introduced cotton varieties, a split-plot experiment based on a randomized complete block design with three replications was conducted at the Bandargaz Cotton Research Station during two growing seasons (2021–2022). The main factor was three planting dates, and the sub-factor consisted of six cotton genotypes. Each plot consisted of five 6-meter planting rows, with one non-planted row between treatments to minimize border effects. Model performance was evaluated by comparing simulated and observed values using root mean square error (RMSE), coefficient of variation (CV), correlation coefficient (R), and the proportion of data points falling within a $\pm 15\%$ deviation from the 1:1 line.

Keywords:

Measurement

Yield

coefficient of variation

Vasanji

Results: Field observations showed that days to flowering ranged from 52 to 73 days, with a mean of 62.94 days, which was comparable to the model-predicted mean of 64.33 days. The RMSE for days to budding was 8.73 days, with a CV of 20.3% and a correlation coefficient of 0.76, indicating good agreement between simulated and observed values. For yield, the RMSE was 57.43 g m^{-2} , representing 19.7% of the observed mean yield. The correlation coefficient for yield

was 0.89, with 95% of the simulated values falling within $\pm 15\%$ of the 1:1 line. These findings confirm the model's accuracy in simulating both phenological stages and yield performance

Conclusion: The results demonstrated that the SSM-iCrop2 model provides acceptable accuracy for predicting cotton developmental stages, including budding, flowering, and ripening, as well as total yield under the climatic conditions of Bandargaz. The majority of simulated points were within the reliable range of $\pm 15\%$ of the 1:1 line, confirming the model's effectiveness and robustness in estimating crop parameters. Therefore, SSM-iCrop2 can be recommended as a practical tool for analyzing cotton productivity and for assessing the effects of environmental variation, management practices, and genetic factors in major cotton-growing regions of Iran.

Cite this article: Fooladmand, H.R. (2024). Evaluation of cotton water requirement in the southern part of Fars province. *Iranian Journal Cotton Researches*, 12 (2), 31-44.



© The Author(s).

DOI: 10.22092/ijcr.2025.368229.1231

Publisher: Cotton Research Institute of Iran



شبیه‌سازی مراحل نموی پنبه با استفاده از مدل SSM-iCrop2

علی راحمی کاریزکی^{*}، یاسر جعفری مفیدآبادی^۲، سعید سلطانی^۳، مجتبی صالحی شیخی^۳

^۱ دانشیار گروه تولیدات گیاهی دانشکده کشاورزی و منابع طبیعی، گنبد، ایران، رایانامه: alirahemi@yahoo.com

^۲ محقق مؤسسه تحقیقات پنبه کشور، سازمان تحقیقات، آموزش و ترویج کشاورزی، گرگان، ایران

^۳ دانشجوی دکتری اکولوژی گیاهان زراعی دانشکده گندکاووس

اطلاعات مقاله

چکیده

سابقه و هدف: پنبه مهم‌ترین منبع الیاف طبیعی در جهان و ایران به شمار می‌رود. سطح زیرکشت پنبه در ایران حدود ۹۰ هزار هکتار است. استان‌های خراسان‌رضوی، فارس، خراسان‌جنوبی، گلستان، خراسان شمالی، سمنان و اصفهان مناطق اصلی تولید پنبه در ایران هستند. هدف از این آزمایش ارزیابی مدل SSM-iCrop2 برای شبیه‌سازی مراحل رشد گیاه پنبه در شرایط محیطی مختلف کشت در شهرستان بندرگز استان گلستان بود. جنبه‌های مختلف رشد و نمو گیاه در مدل SSM-iCrop2 به صورت زیربرنامه‌های نمو فنولوژیک، سازماندهی شده‌اند. مدل شبیه‌سازی را به صورت روزانه انجام می‌دهد و به اطلاعات مربوط به هوا (دما، حداکثر، دما، حدااقل، تابش و بارش) و مدیریت زراعی (تاریخ کاشت، رقم) نیاز دارد.

نوع مقاله:

مقاله کامل علمی - پژوهشی

مواد و روش‌ها: به منظور بررسی شبیه‌سازی مراحل نموی ارقام در دست معرفی پنبه با استفاده از مدل SSM-iCrop2، آزمایشی به صورت کرت‌های خرد شده در قالب طرح بلوك‌های کامل تصادفی با سه تکرار در ایستگاه تحقیقاتی پنبه کارکنده (بندرگز) به مدت دو سال زراعی (۱۴۰۱ - ۱۴۰۰) اجرا گردید. تیمارهای آزمایش تحت سه تاریخ کاشت به عنوان عامل اصلی و ۶ ژنتیپ پنبه به عنوان عامل فرعی مورد بررسی قرار گرفتند. طول خطوط کاشت ۶ متر و تعداد خطوط ۵ خط می‌باشد و یک خط نکاشت هم بین تیمارها در نظر گرفته شد. در این مطالعه برای مقایسه انحراف مقداری شبیه‌سازی شده از مشاهده شده از میانگین مربعات خط (RMSE)، ضریب تغییرات (CV)، ضریب همبستگی (R) و میزان انحراف نتایج شبیه‌سازی شده از خط ۱:۱ با طیفی از اختلاف ۱۵ درصد بین مقداری شبیه‌سازی شده و مشاهده شده برای آزمون نتایج مدل استفاده گردید.

تاریخ دریافت: ۱۴۰۳/۱۰/۱۷

تاریخ پذیرش: ۱۴۰۴/۴/۱۱

واژه‌های کلیدی:

واسنجی

عملکرد و ش

ضریب تغییرات

نتایج: نتایج این آزمایش نشان دهنده کارایی قابل قبول مدل، برای پیش‌بینی روز تا غنچه‌دهی (RMSE= ۸/۷، CV= ۲۰/۳، R= ۰/۷۶) و عملکرد و ش (RMSE= ۱۹/۷، CV= ۰/۸۹، R= ۰/۸۹) بود. همچنین برای پارامترهای روز تا گلدهی (RMSE= ۵۷/۴، CV= ۹/۴، R= ۰/۶۹) و روز تا غوزده‌دهی (RMSE= ۱۱/۲، CV= ۱۱/۵، R= ۰/۸۱) (RMSE= ۹/۷، CV= ۰/۸، R= ۰/۹۱) رسیدگی (RMSE= ۱۸/۹، CV= ۱۰/۸، R= ۰/۹۱)، ارزیابی گردید.

نتیجه‌گیری: این نتایج نشان می‌دهد که مدل SSM-iCrop2 می‌تواند در مطالعات شبیه‌سازی عملکرد پنبه و واکنش آن به عوامل محیطی، مدیریتی و تغییرات اقلیم مورد استفاده قرار گیرد.

استناد: راحمی کاریزکی، علی؛ جعفری مفیدآبادی، یاسر؛ سلطانی، سعید؛ صالحی شیخی، مجتبی. (۱۴۰۳). شبیه‌سازی مراحل نموی پنبه با استفاده از مدل SSM-iCrop2. *مجله پژوهش‌های پنبه/ایران*، ۱۲(۲)، ۴۴-۳۱.

DOI: 10.22092/ijcr.2025.368229.1231



© نویسنده‌گان.

ناشر: موسسه تحقیقات پنبه کشور

طريق تغيير مدیریت‌های مختلف زراعی و شناخت بهتر تأثیر فاکتورهای مدیریتی مختلف از قبیل تاریخ کاشت، تراکم، رقم و غیره می‌باشند (سیلوان و گیلر، ۲۰۲۰). امروزه مدل‌های متفاوتی برای برآورد عملکرد پتانسیل، براساس روش‌های مختلف محاسبه، از قبیل محاسبه ماده خشک خالص، فتوسنتر و تبخیر و تعرق توسعه داده شده‌اند. از میان این مدل‌ها می‌توان به مدل پتانسیل حرارتی-تابشی تولید (سیس و همکاران، ۱۹۸۵)، مدل WOFOST (دایپن و همکاران، ۱۹۸۹)، مدل DSSAT (جونز و همکاران، ۲۰۰۳)، مدل EPIC (ویلیامز و همکاران، ۱۹۸۹) و مدل Aqua crop (ریس و همکاران، ۲۰۰۹) اشاره کرد. برای پیش‌بینی رشد و نمو گیاه راهبردی پنبه مدل‌های مختلفی از قبیل GOSSYM (باکر و همکاران، ۱۹۸۳)، OZCOT (هرن و همکاران، ۱۹۹۴) و COTCROP (Brown, et al 1985) ارائه شده است. مدل EPIC را برای شبیه‌سازی رشد پنبه در جنوب تگزاس پارامتریابی کردند. در مطالعه آن‌ها مقدار جذر میانگین مربعات خطای (RMSE) برای عملکرد پنبه شبیه‌سازی شده در مقابل عملکرد مشاهده شده برابر ۲۲۰ کیلوگرم در هکتار و مقدار ضریب تبیین (r^2) برابر ۸۶ درصد به دست آمد (کوو و همکاران، ۲۰۰۹). در مطالعه‌ای بر روی مدل Aqua Crop مقدار جذر میانگین مربعات خطای (RMSE) برای عملکرد پنبه شبیه‌سازی شده در مقابل عملکرد مشاهده شده برابر ۱۳۰ کیلوگرم در هکتار و مقدار ضریب تبیین (r^2) برابر ۹۸ درصد به دست آمد (فرهانی و همکاران، ۲۰۰۹). در مطالعه‌ای دیگر (تین و همکاران، ۲۰۱۸) عملکرد مدل Aqua Crop را برای شبیه‌سازی رشد پنبه در جنوب سین کیانگ چین مورد بررسی قرار دادند. در این مطالعه مقدار جذر میانگین مربعات خطای (RMSE) برای عملکرد پنبه شبیه‌سازی شده در مقابل عملکرد مشاهده شده در سال‌های ۲۰۱۲ و ۲۰۱۳ به ترتیب برابر ۶۴۴ و ۱۳۱۹ کیلوگرم در هکتار و مقدار ضریب تبیین (r^2) به ترتیب برابر ۹۶ و ۸۵ درصد به دست آمد. علاوه بر مدل‌های ذکر شده مدل دیگری به نام

مقدمه

پنبه یکی از گیاهان مهم و استراتژیک در دنیا است که سابقه کشت بسیار طولانی در ایران و جهان دارد (قرنجیکی و فلاح نصرت آباد، ۲۰۲۰). افزایش تولید در واحد سطح و همچنین سطح زیر کشت این گیاه از اهداف اصلی محققان در طی سالیان گذشته بوده است. پنبه یکی از محصولات کشاورزی اساسی است که در تولید منسوجات و صنایع روغن استفاده می‌شود. این محصول اغلب به عنوان یکی از محصولات پرآب نام برده می‌شود و برای رشد و توسعه بهینه، نیازمند شرایط خاصی از خاک و آب و هوا است (وايت، ۲۰۱۷). یکی از راهکارهای اساسی در افزایش محصول پنبه در واحد سطح، استفاده صحیح از برنامه‌های مدیریتی مانند اتخاذ سیستم‌های صحیح خاکورزی و کودهای زیستی، تاریخ کاشت و تراکم مناسب است (ویلر و همکاران، ۲۰۲۰؛ ناگرال و همکاران، ۲۰۲۳).

مدل‌های شبیه‌سازی گیاهان زراعی به درک فعلی ما از فرآیندهای فیزیولوژیکی گیاه (فونولوژی، تولید و توزیع ماده خشک) و همچنین پاسخ‌های گیاه به عوامل محیطی را به صورت روابط کمی ریاضی کمک کرده (سلطانی و سینکلر، ۲۰۱۲) و به گونه‌ای طراحی شده‌اند که بتوانند روابط متقابل ژنتیک، محیط و عوامل مدیریتی را به خوبی نشان دهند. به نظر می‌رسد در صورت فراهم بودن آمار هواشناسی بلند مدت، استفاده از مدل‌های شبیه‌سازی گیاهان زراعی تخمین بهتری از عملکرد پتانسیل در شرایط دیم و آبی نسبت به سایر روش‌ها می‌دهند. دلایل و مزایای کاربرد مدل‌های شبیه‌سازی گیاهان زراعی که جزء مدل‌های پویا محسوب می‌شوند شامل کاهش آزمایش‌های درازمدت مزرعه‌ای در یک منطقه خاص و برآورد بهتر عملکرد پتانسیل در شرایط دیم و آبی نسبت به مزارع آزمایشی و یا حداکثر عملکرد کشاورزان؛ امکان حذف اثرات آفات، بیماری‌ها و علفهای هرز در شبیه‌سازی‌ها؛ ارزیابی تأثیر عملیات مدیریت زراعی بر عملکرده؛ شناخت بهتر از سیستم‌های بیولوژیکی و فیزیکی و اثرات متقابل آن‌ها؛ تخمین واقعی تر عملکرد پتانسیل، رژیم رطوبتی و مدیریت و نیز ارزیابی دقیق تر راههای افزایش عملکرد از

زیادی نیز وجود ندارد (سلطانی و همکاران، ۲۰۱۱). مراحل فنولوژی در مدیریت مزرعه مانند آبیاری، مصرف علف‌کش‌ها، کودهای شیمیایی و دیگر نهاده‌ها برای دست‌یابی به حداکثر عملکرد نقش مهمی دارند. از آنجایی که آزمایشات مزرعه‌ای غالباً وقت‌گیر و پرهزینه است، لذا هدف از این آزمایش ارزیابی مدل SSM-iCrop2 برای شبیه‌سازی مراحل رشد گیاه پنبه در شرایط محیطی مختلف کشت در شهرستان بندرگز استان گلستان بود.

مواد و روش‌ها

آزمایش مزرعه‌ای: به منظور بررسی شبیه‌سازی مراحل نموی ارقام در دست معرفی پنبه با استفاده از مدل SSM-iCrop2، آزمایشی به صورت کرت‌های خرد شده در قالب طرح بلوک‌های کامل تصادفی با سه تکرار در ایستگاه تحقیقاتی پنبه کارکنده (بندرگز) واقع در ۳۵ کیلومتری غرب گرجان به مدت دو سال زراعی (۱۴۰۱ - ۱۴۰۰) اجرا گردید. تیمار‌های آزمایش تحت سه تاریخ کاشت، شامل (۵ اردیبهشت، ۲۵ اردیبهشت و ۱۴ خرداد) به عنوان عامل اصلی و ۶ ژنتیک پنبه (N2G80 - NSK847 - NBK-ANBK - GKTB113 - 96A3 - یک رقم شاهد) به عنوان عامل فرعی مورد بررسی قرار گرفت. آماده‌سازی زمین با توجه به روش‌های متداول خاکورزی موجود در منطقه (شخم و دیسک بهاره) انجام گردید. آمار هواشناسی در طی دوره کشت در جدول ۱ قابل مشاهده است.

SSM-iCrop2 توسط سلطانی و همکاران (۲۰۱۳) برای شبیه‌سازی عملکرد پتانسیل گیاهان زراعی مختلف تهیه شده است. این مدل توانایی شبیه‌سازی مراحل نمو فنولوژیک (سیزشدن، شروع مؤثر پرشدن دانه، پایان مؤثر پرشدن دانه، شروع پیششدن برگ و رسیدگی)، گسترش و پیری برگ، توزیع ماده خشک، تشکیل عملکرد و موازنگاری آب خاک را دارد. این مدل دارای کد باز بوده و چون دارای ساختار ساده است برای اهداف آموزشی نیز قابل استفاده است. از آن جایی که مدل از صفحه گستردگی اکسل برای ورودی و خروجی استفاده می‌کند کار با آن ساده است. از این مدل می‌توان در موارد متعددی نظریه کاربردهای تحقیقاتی، مدیریت زراعی و آموزشی استفاده نمود (Soltani, et al 2020). تاکنون مدل SSM برای شبیه‌سازی رشد و عملکرد گیاهان مختلف مثل سویا (رسم و سلطانی، ۱۳۹۳)، سورگوم (راحمی کاریزکی و همکاران، ۲۰۲۲)، نخود (راحمی کاریزکی و همکاران، ۲۰۲۱)، بادام‌زمینی (نورحسینی و همکاران، ۱۴۰۸) و سیب‌زمینی (دارسی و همکاران، ۱۴۰۰) پارامتریابی و ارزیابی شده است.

پیش‌بینی نمو فنولوژیک یا مراحل نموی گیاه اهمیت زیادی دارد، چون تولید و توزیع ماده خشک در مدل‌های شبیه‌سازی گیاهان زراعی تا حد زیادی تحت تأثیر زمان و قوی مراحل فنولوژی می‌باشد. به همین ترتیب، پیش‌بینی آن نسبت به پیش‌بینی تغییرات سطح برگ و سایر فرآیندها نسبتاً مشکل‌تر است، زیرا تفاوت بین گونه‌ها و ارقام زیاد است و اطلاعات کمی

جدول ۱- آمار هواشناسی ایستگاه تحقیقات کارکنده در دو سال آزمایش (۱۴۰۰-۱۴۰۱)

| | بارش (میلی‌متر) Precipitation (mm) | مجموع ساعت آفتابی (ساعت) Total hours of sunshine (hour) | میانگین دما (°C) Temperature mean |
|------------------|---------------------------------------|---|--------------------------------------|
| فروردين (March) | 26.2 | 21.1 | 18.6 21.5 |
| اردیبهشت (April) | 32.0 | 48.2 | 23.3 22.2 |
| خرداد (May) | 17.4 | 12.2 | 27.6 26.9 |
| تیر (June) | 3.2 | 11.1 | 32.6 31.5 |
| مرداد (July) | 12.0 | 28.2 | 31.5 29.9 |
| شهریور (Aug) | 23.4 | 22.6 | 29.4 28.8 |

متر مربع رسید. برداشت محصول در سه خط وسط از هر کرت به طول ۵ متر انجام شد. همچنین آبیاری با استفاده از نوارهای مخصوص (Tape) صورت گرفت و برای مبارزه با علفهای هرز نیز از روش وجین دستی استفاده گردید. عملیات یادداشت برداری هر پلات روی میزان عملکرد و صفات فنولوژیکی شامل روز تا غنچه‌دهی، روز تا گلدهی، روز تا غوزه‌دهی و روز تا رسیدگی صورت پذیرفت. برای مبارزه با آفات مکنده و کرم غوزه، از سومو تایدفیت و لاروین استفاده شد.

بافت خاک محل اجرای پروژه از نوع سیلتی لوم با مشخصات ۶۵-۸۵ درصد سیلت، ۱۰-۱۵ درصد شن و ۲۰-۲۴ درصد رس بود و افزودن عنصر مغذی به خاک مزرعه (۵۰ کیلوگرم در هکتار اوره، ۱۰۰ کیلوگرم در هکتار سوپرفسفات تریپل و ۱۰۰ کیلوگرم در هکتار سولفات پتابسیم) بر اساس آزمون خاک (از عمق صفر تا ۳۰ سانتی‌متری) انجام شد (جدول ۲). در این پروژه، ارقام مورد مطالعه در پلات‌هایی با ابعاد ۶ خط (۵ خط کاشت و یک خط نکاشت) در ۶ متر و فواصل ۸۰×۲۰ سانتی‌متر کشت شدند، که هر پلات به مساحت ۱۶

جدول ۲- مشخصات خاک محل اجرای آزمایش

| ویژگی‌ها (Characteristic) | مقدار (Amount) |
|---|----------------|
| هدایت الکتریکی EC (dS.m⁻¹) | 0.83 |
| اسیدیت pH | 6.1 |
| کربن آلی Organic C (%) | 1.23 |
| N (ppm) نیتروژن | 0.21 |
| Absorbable phosphorus (ppm) فسفر قابل جذب | 11 |
| Absorbable potassium (ppm) پتابسیم قابل جذب | 210 |

نیاز اطلاق می‌شود.
بررسی کارایی مدل: در این آزمایش برای مقایسه انحراف مقادیر شبیه‌سازی شده از مشاهده شده از میانگین مربعات خطای RMSE)، ضریب تغییرات (CV)، ضریب همبستگی (r) و میزان انحراف نتایج شبیه‌سازی شده از خط ۱:۱ با طیفی از اختلاف٪۲۰ بین مقادیر شبیه‌سازی شده و مشاهده شده، برای آزمون نتایج مدل براساس معادلات زیر استفاده شد.

$$RMSE(\%) = \sqrt{\left(\frac{\sum_{i=1}^n (X_i - Y_i)^2}{n-1} \right)} \times \frac{100}{\bar{X}} \quad (1)$$

که در آن X_i : مقدار اندازه‌گیری شده، Y_i : مقدار شبیه‌سازی شده و n : تعداد مقادیر اندازه‌گیری شده و شبیه‌سازی شده است که برای محاسبه استفاده می‌شوند.

$$CV = \frac{\delta}{\mu} \times 100 \quad (2)$$

که در آن CV : ضریب تغییرات، δ : انحراف معیار و μ : میانگین می‌باشد.

$$r = \frac{\sum_{i=1}^n (X_i - \bar{X})(Y_i - \bar{Y})}{\sqrt{\sum_{i=1}^n (X_i - \bar{X})^2} \sqrt{\sum_{i=1}^n (Y_i - \bar{Y})^2}} \quad (3)$$

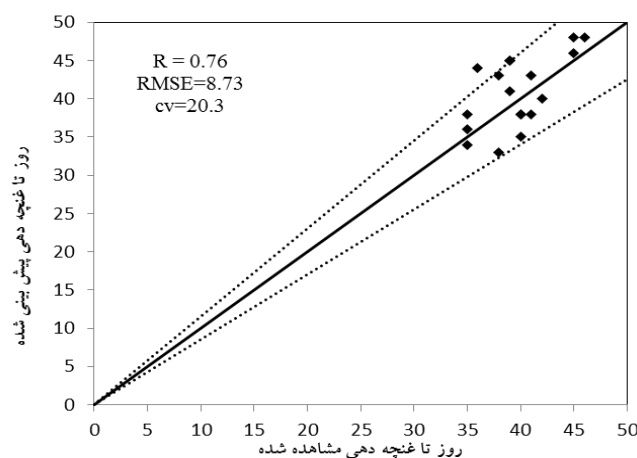
ساخたار مدل: زیر مدل iCrop2 برگرفته از مدل اصلی SSM می‌باشد که در آن مقدار عملکرد پتانسیل بر مبنای داده‌های هواشناسی، شرایط خاک، نحوه مدیریت و پارامترهای گیاهی محاسبه می‌شود. مدل شبیه‌سازی را به صورت روزانه انجام می‌دهد و از اطلاعات قلیل دسترس آب و هوا و خاک استفاده می‌کند (سلطانی و سینکلر، ۲۰۱۲). در پنبه فنولوژی گیاه، تغییرات سطح برگ، تولید و توزیع ماده خشک، از مهم‌ترین مراحلی هستند که در مدل باید شبیه‌سازی شوند. از آنجایی که این مدل از صفحات برنامه اکسل شرکت مایکروسافت برای ورود و خروجی استفاده می‌کند، کار با آن ساده است. در این مدل، روش کمی‌سازی پیش‌بینی نمو فنولوژیکی در پنبه تابعی از دما، طول دوره رشد رویشی مورد بررسی قرار می‌گیرد. در این مدل می‌توان واحد دمایی تجمعی مورد نیاز برای یک مرحله را بر حسب تعداد روز تقویمی مورد نیاز برای آن مرحله فنولوژیک بیان کرد که اصطلاحاً به آن روز زیستی (روز بیولوژیک) مورد

مشاهده شده برای روز تا غنچه دهی $20/3$ درصد بود. ضریب همبستگی روز تا غنچه‌دهی شبیه‌سازی شده با روز تا مشاهده شده ($0/76$) نیز نشان می‌دهد که مدل در پیش‌بینی دقیق مراحل نمو فنولوژیک موفق بوده است. همچنین نتایج نشان داد که مقادیر روز تا غنچه دهی به دست آمده از مزرعه (مشاهده شده)، در یک محدوده‌ای از مقادیر 35 تا 46 روز و میانگین $39/66$ روز، در مقایسه با مقدار میانگین به دست آمده از مدل ($22/72$) نشان دهنده این موضوع بود که تقریباً اکثر داده‌ها در دامنه‌ای مشابه با مقادیر واقعی قرار دارند (شکل ۱).

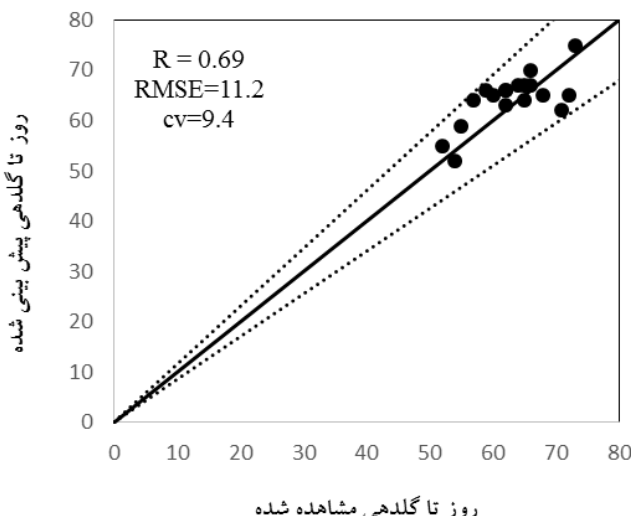
که در آن X_i : مقدار اندازه‌گیری شده، Y_i : مقدار شبیه‌سازی شده، \bar{X} و \bar{Y} : میانگین مقادیر X_i و Y_i و n : تعداد مقادیر اندازه‌گیری شده و شبیه‌سازی شده است که برای محاسبه r استفاده می‌شوند.

نتایج

روز تا شروع غنچه دهی: نتایج حاصل از این آزمایش نشان داد که جذر میانگین مربعات خطای (RMSE) برای روز تا غنچه دهی $8/73$ روز است و ضریب تغییرات (CV) بین مقادیر شبیه‌سازی شده و



شکل ۱- مقادیر روز تا غنچه‌دهی مشاهده شده در مقابل روز تا غنچه‌دهی شبیه‌سازی شده
(خط تیره، معرف خط $1:1$ و خطوط نقطه چین بالا و پایین بیانگر $15 \pm$ درصد می‌باشد)

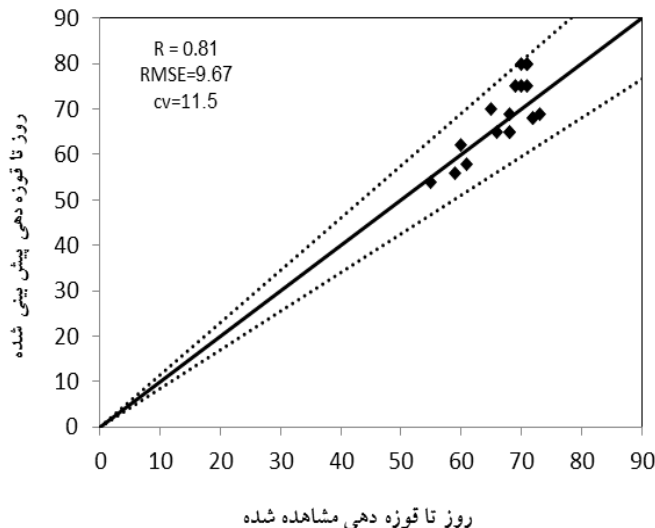


شکل ۲- مقادیر روز تا گلدهی مشاهده شده در مقابل روز تا گلدهی شبیه‌سازی شده
(خط تیره، معرف خط $1:1$ و خطوط نقطه چین بالا و پایین بیانگر $15 \pm$ درصد می‌باشد).

شبیه‌سازی شده توسط مدل و روز تا غوزه‌دهی مشاهده شده با یکدیگر مقایسه شده‌اند که نشان داد، جذر میانگین مربعات خطأ (RMSE) ۹/۶۷ روز و ضریب تغییرات (CV) بین مقادیر شبیه‌سازی شده و مشاهده شده برای روز تا غوزه‌دهی ۱۱/۵ درصد بود. ضریب همبستگی (۰/۸۱) نیز نشان می‌دهد که مدل در پیش‌بینی دقیق مرحله غوزه‌دهی موفق عمل کرده است. همان‌طور که در شکل ۳ مشاهده شده می‌شود تمام نقاط در محدوده خطوط ± 15 درصد نسبت به خط ۱:۱ می‌باشند که نشان از پیش‌بینی درست پارامترهای مدل دارد.

روز تا شروع گلدهی: نتایج نشان داد که مقادیر روز تا گلدهی به دست آمده از مزرعه در محدوده‌ای از مقادیر ۵۲ تا ۷۳ روز و میانگین ۶۲/۹۴ روز به دست آمد که در مقایسه با مقدار میانگین حاصل شده از مدل (۶۴/۳۳) به این نتیجه می‌توان رسید که تمام نقاط در دامنه‌ای مشابه با مقادیر پیش‌بینی شده قرار دارد. همچنین در این صفت، پارامترهای جذر میانگین مربعات خطأ، ضریب تغییرات و ضریب همبستگی، به ترتیب برابر $11/2$ ، $9/4$ و $69/0$ محاسبه شد، که همگی نشان‌دهنده پیش‌بینی مطلوب مدل می‌باشد (شکل ۲).

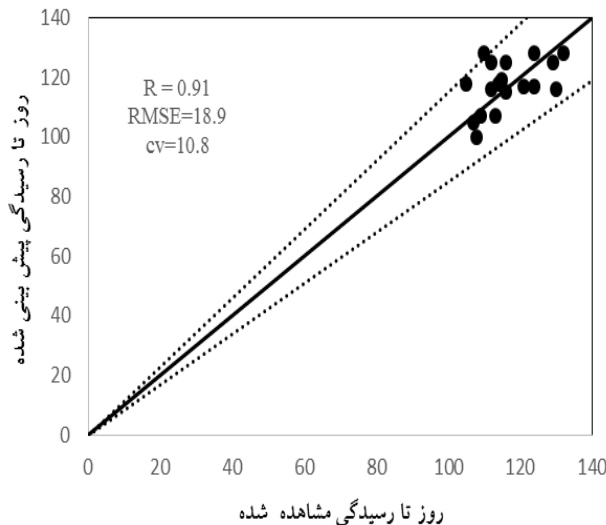
روز تا شروع غوزه‌دهی: در شکل ۳ روز تا غوزه‌دهی



شکل ۳- مقادیر روز تا قوزه‌دهی مشاهده شده در مقابل روز تا غوزه دهی شبیه‌سازی شده (خط تیره، معرف خط ۱:۱ و خطوط نقطه چین بیانگر دامنه $15 \pm$ درصد می‌باشد).

میانگین مربعات خطأ، ضریب تغییرات و ضریب همبستگی، بین داده‌های به دست آمده از آزمایشات مزرعه‌ای و داده‌های شبیه‌سازی شده از مدل به ترتیب $۹/۶۷$ ، $۰/۸۱$ و $۱۱/۵$ به دست آمد. مقایسه داده‌های حاصل مقادیر اندازه‌گیری شده و شبیه‌سازی شده نسبت به خط ۱:۱ در محدوده ± 15 درصد این خط قرار گرفتند (شکل ۴) که بیانگر پیش‌بینی موفق مدل برای شبیه‌سازی مرحله فنولوژیکی روز تا پایان انتهای دوره رویشی پنبه بود.

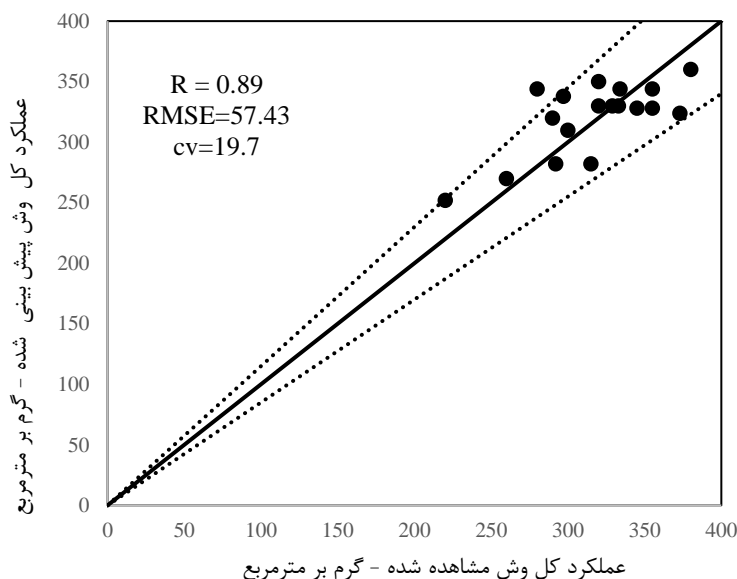
روز تا شروع رسیدگی: نتایج نشان می‌دهد که مدل، روز از کاشت تا شروع رسیدگی را نیز به خوبی شبیه‌سازی نموده به نحوی که مقادیر روز تا رسیدگی به دست آمده از مزرعه (مشاهده شده) در یک محدوده‌ای از مقادیر $10/7$ تا $13/2$ روز و میانگین $116/50$ روز به دست آمد که در مقایسه با مقدار میانگین حاصله از مدل ($117/44$) نشان داد که در دامنه‌ای مشابه با مقادیر واقعی است. همچنین جذر



شکل ۴- مقادیر روز ت رسیدگی مشاهده شده در مقابل روز ت رسیدگی شبیه‌سازی شده
(خط تیره، معرف خط ۱:۱ و خطوط نقطه چین بیانگر دامنه $15 \pm$ درصد می‌باشد)

نقاط در محدوده خطوط $15 \pm$ درصد نسبت به خط ۱:۱ می‌باشند. که نشان از پیش‌بینی درست پارامترهای مدل دارد. استفاده از مدل‌های ریاضی یکی از کاربردی‌ترین روش‌های پیش‌بینی عملکرد محصولات گیاهان زراعی است که در سال‌های اخیر استفاده گسترده‌ای در پیش‌بینی تولید محصولات زراعی همچون پنبه داشته است (شو و همکاران، ۲۰۲۰).

عملکرد کل وش: نتایج این آزمایش نشان داد که جذر میانگین مربعات خطأ (RMSE) برای مقدار عملکرد وش پنبه در شهرستان بندرگز طی دو سال ۵۷/۴۳ گرم در متر مربع است که حدود ۱۹/۷ درصد میانگین عملکرد مشاهده شده است. همچنین در این آزمایش ضریب همبستگی ۰/۸۹ به دست آمد و همان‌طور که در شکل (۵) مشاهده می‌شود ۹۵ درصد



شکل ۵- مقادیر عملکرد کل مشاهده شده در مقابل عملکرد کل شبیه‌سازی شده
(خط تیره، معرف خط ۱:۱ و خطوط نقطه چین بیانگر دامنه $15 \pm$ درصد می‌باشد).

نهایت به سمت غوزه‌ها گسیل می‌شوند (لین و همکاران، ۲۰۲۳). تعیین زمان دقیق این مرحله فنولوژیکی برای دستیابی به عملکرد و کیفیت مطلوب پنبه بسیار با اهمیت است. موقع بارش‌های فصلی یکی از مشکلات اساسی در این مرحله از رشد پنبه است که با استفاده از مدل‌های آماری و پیش‌بینی زمان رسیدگی، می‌توان کمیت و کیفیت پنبه‌های تولیدی را بهبود داد (لئو و همکاران، ۲۰۲۱). استفاده از مدل‌های ریاضی یکی از کاربردی‌ترین روش‌های پیش‌بینی عملکرد محصولات گیاهان زراعی است که در سال‌های اخیر استفاده گسترده‌ای در پیش‌بینی تولید محصولات زراعی همچون گیاه پنبه داشته است (پراساد و همکاران، ۲۰۲۱). استفاده از مدل SSM-iCrop² یکی از بهترین مدل‌ها برای پیش‌بینی عملکرد گیاهان زراعی است که به دلیل دخیل بودن پارامترهای مختلف محیطی در آن، دارای دقت بسیار بالایی می‌باشد (سلطانی و همکاران، ۲۰۲۰). همانند نتایج این پژوهش، استفاده از مدل SSM-iCrop² در پیش‌بینی عملکرد گیاهان زراعی مختلف، مؤثر بوده است (حسینی و همکاران، ۲۰۲۱؛ نهندانی و همکاران، ۲۰۲۳). در پارامتریابی مدل SSM-iCrop² برای برنج، مقایسه بین روز تا روز سیدگی مشاهده شده و شبیه‌سازی شده، با RMSE، و CV به ترتیب برابر با ۱۲ روز، ۱۱ درصد و ۰/۶۱ و برای عملکرد دانه به ترتیب ۵۶ گرم در متر مربع، ۲۱ درصد و ۰/۸۰ درستی پارامترهای مورد استفاده را نشان داد (کرامت و همکران، ۲۰۲۳). در مطالعه ایشان مقدار RMSE برای عملکرد پنبه برابر با ۷۷/۶ گرم در متر مربع و حدود ۱۳ درصد میانگین عملکرد بود. در مطالعه ایشان ضریب همبستگی شبیه‌سازی شده و گزارش شده برابر با ۰/۷۲ بود. طی یک مطالعه استفاده از مدل SSM-iCrop² فنولوژی، عملکرد کلزای آبی را پیش‌بینی کردند. ایشان با توجه به مقادیر آماره‌های مربوطه (RMSE; r^2 , CV) کارایی مدل در شبیه‌سازی رشد و عملکرد کلزای آبی را رضایت-بخش دانستند. در مطالعه ایشان مقادیر ضریب تبیین، ضریب تغییرات و جذر میانگین مربعات خطای عملکرد دانه کلزا به ترتیب ۰/۸۷، ۰/۱۸ و ۱۰ درصد

بحث

استفاده از مدل‌های ریاضی یکی از تکنیک‌های دقیق و کارآمد در پیش‌بینی عملکرد و مراحل فنولوژیکی گیاه است. زمان کاشت تا شروع غنچه‌دهی از خصوصیات فنولوژیکی مهم پنبه است که در برنامه‌های مدیریتی اصلاحی و مبارزه با آفات و بیماری‌ها بسیار با اهمیت است (شیا و همکاران، ۲۰۱۹). داشتن سرعت رشد بالا و رسیدن به مرحله غنچه‌دهی یک مزیت مهم در پنبه است، چرا که مراحل اولیه رشد این گیاه نسبت به آفات و بیماری‌ها حساس است (تعیم الله و همکاران، ۲۰۲۰). داشتن جذر میانگین مربعات خطای کم و ضریب همبستگی مطلوب نشان از قدرت مدل در پیش‌بینی این صفت فنولوژیکی است. پیش‌بینی شروع گلدهی توسط مدل‌های ریاضی از اهمیت ویژه‌ای برای محققان و کشاورزان برخوردار است، چرا که بیشتر برنامه‌های مدیریتی همچون استفاده از عناصر معدنی و یا مبارزه با آفات و بیماری‌ها در این مرحله انجام می‌شود (سارود و همکاران، ۲۰۲۰؛ محمد و همکاران، ۲۰۲۰).

گلدهی یکی از مهمترین مراحل رشد و نمو گیاه است که بیشترین نیاز فیزیولوژیکی گیاه در این مرحله اتفاق می‌افتد (ژیلانگ و همکاران، ۲۰۲۰). محققان بر این باورند که پس از مرحله جوانهزنی و استقرار، گلدهی یکی از حساس‌ترین مراحل به آفات و بیماری‌ها است که تهیه مدل‌های آماری برای پیش‌بینی این مرحله از اولویت‌های اصلی بخش کشاورزی است (لئو و همکاران، ۲۰۲۱؛ دالیوال و همکاران، ۲۰۲۲). غوزه‌دهی یکی از مراحل مهم چرخه زندگی پنبه است که تحت تأثیر ژنتیک و شرایط محیطی می‌تواند تغییر یابد. پیش‌بینی زمان دقیق تشکیل غوزه از نظر مدیریت تغذیه گیاه برای نیل به افزایش کیفیت الیاف پنبه دارای اهمیت است (شو و همکاران، ۲۰۲۱). علاوه بر این، پیش‌بینی زمان غوزه‌دهی در پی بردن به پتانسیل عملکرد و تعیین زمان برداشت پنبه دارای اهمیت زیادی است شروع رسیدگی با باز شدن کامل غوزه‌ها همراه است و به تدریج نیتروژن و سایر مواد معدنی از برگ‌های پایینی به برگ‌های بالایی و در

۶۰/۵ گرم در متر مربع بود (منشادی و همکاران، ۲۰۲۲).

نتیجه گیری

نتایج این آزمایش نشان از کارایی قابل قبول مدل SSM-iCrop2 برای پیش‌بینی روز تا غنچه دهی، روز تا گلدهی، روز تا غزدهدی، روز تا رسیدگی و عملکرد کل وش در شرایط آب و هوایی شهرستان بندرگز داشت. همچنین ارزیابی مدل نشان داد در اکثر نقاط در محدوده قابل اطمینان ± 15 درصد) از خط یک و یک قرار گرفتند که بیانگر برآورد صحیحی از پارامترهای مدل و یا تصدیق کننده کارآیی شبیه‌سازی مراحل رشد مدل است. بنابراین، می‌توان از این مدل برای اهداف تجزیه و تحلیل عملکرد پنبه و بررسی واکنش پنبه به تغییرات محیطی، مدیریتی و عوامل ژنتیکی در در مناطق مهم تولید کننده پنبه در کشور استفاده نمود.

و ۶۷ گرم در متر مربع گزارش شد. در مطالعه‌ی دیگر پارامترهای گیاهی و ارزیابی عملکرد علوفه یونجه با استفاده از مدل iCrop-SSM2 در مناطق عملده تولید آن در ایران بررسی شد. نتایج ارزیابی مطالعه ایشان نشان داد، ضریب همبستگی R^2 ، جذر میانگین مربعات خطا (RMSE) و ضریب تغییرات (CV) برای عملکرد تک چین شبیه‌سازی شده در مقایسه با مشاهده شده به ترتیب 0.79 ، $88/30$ گرم در متر مربع و $26/78$ درصد، برای عملکرد علوفه سالانه به ترتیب 0.90 ، $4/344$ گرم در متر مربع به دست آمد (پورشیرازی و همکاران، ۲۰۲۳). نتایج مدل شبیه‌سازی SSM-iCrop2 برای پیش‌بینی بویایی و رشد و نیتروژن ارقام زمستانه گندم (*maestivu Triticum*) در بخشی از منطقه اتریش با شرایط آب و هوایی معتدل مورد ارزیابی قرار گرفت که دوره زمانی شبیه‌سازی شده ویژگی‌های محصول در طول فصل رشد، مطابقت خوبی با داده‌های مشاهده شده نشان داد. مقادیر CV و RMSE برای ماده خشک به ترتیب $5/9$ درصد و $115/6$ گرم در متر مربع و برای عملکرد دانه $1/9$ درصد و

منابع

- Amir, J., and Sinclair, T. 1991. A model of water limitation on spring wheat growth and yield. *Field Crops Research*. 28: 59-69.
- Baker, D. N., Lambert, J. R., and McKinion, J. M. 1983. GOSSYM: A simulator of cotton crop growth and yield. *Tech Bull.*, 1086, S. C. Agricultural Experiment Station, Clemson, South Carolina, USA.
- Brown, L. G., Jones, J. W., Hesketh, J. D., Hartsog, J. D., Whisler, F. D., and Harris, F. S. 1985. COTCROP: Computer simulation of growth and yield. Mississippi Agricultural and Forestry Experiment Station, Information Bulletin No 69. Mississippi State, USA.
- Dadrasi, A., Torabi, B., Rahimi, A., Soltani, A., Zeinali, E. 2020. Parameterization and Evaluation of a Simple Simulation Model (SSM-iCrop2) for Potato (*Solanum tuberosum L.*) Growth and Yield in Iran. *Potato Research*. 63: 545–563.
- Dai, J. and Dong, H., 2016. Farming and cultivation technologies of cotton in China. *Cotton Research*, 77: 97.
- Dhaliwal, J.K., Panday, D., Saha, D., Lee, J., Jagadamma, S., Schaeffer, S., and Mengistu, A., 2022. Predicting and interpreting cotton yield and its determinants under long-term conservation management practices using machine learning. *Computers and Electronics in Agriculture*. 199: 107107.
- Diepen, C. V., Wolf, J., Keulen, H. V., and Rappoldt, C. 1989. WOFOST: A simulation model of crop production. *Soil use and management*. 5 (1): 16-24.
- Farahani, H. J., Izzi, G., Oweis, T. Y. 2009. Parameterization and Evaluation of the AquaCrop Model for Full and Deficit Irrigated Cotton. *Agronomy Journal*. 101 (3): 469-476.

9. Gharanjiki, A., and Fallah, A. 2023. Nosrat-abadField evaluation of different levels of nitrogen and growth promoting bacteria on yield and yield components of cotton in delayed cultivation. Iranian cotton researches. 7(2): 75-92. (In Persian).
10. Hearn, A. B. 1994. OZCOT: A simulation model for cotton crop management. Agricultural Systems. 44: 257-299.
11. Hosseini, R.A., Soltani, A., Ajamnorozi, H. and Zahed, M., 2021. The impact of climate change on rain-fed wheat yield in Iran. Arabian Journal of Geosciences. 14: 1-11.
12. Jiang, Y., Li, C., Xu, R., Sun, S., Robertson, J.S. and Paterson, A.H., 2020. DeepFlower: a deep learning-based approach to characterize flowering patterns of cotton plants in the field. Plant methods, 16, pp.1-17.
13. Jones, J. W., Hoogenboom, G., Porter, C. H., Boote, K. J., Batchelor, W. D., Hunt, L. A., .., Ritchie, J. T. 2003. The DSSAT cropping system model. European journal of agronomy. 18(3): 235-265.
14. Keramat, S., Torabi, B., soltani, A., and Zeinali, E. 2023 Parameterization and evaluation of SSM-iCrop2 model to simulate the growth and yield of rice in Iran. Journal of Plant Production Research. 30(1): 21-47. (in Persian with English Abstract).
15. Ko, J., Piccinni, G., Guo, W., and Steglich, E. 2009. Parameterization of EPIC crop model for simulation of cotton growth in South Texas. Journal of Agricultural Science. 147: 169-178. doi: 10.1017/S0021859608008356.
16. Leo, S., De Antoni Migliorati, M., and Grace, P.R., 2021. Predicting within-field cotton yields using publicly available datasets and machine learning. Agronomy Journal, 113(2): 1150-1163.
17. Lin, S., Deng, M., Wei, K., Wang, Q., and Su, L., 2023. A new regional cotton growth model based on reference crop evapotranspiration for predicting growth processes. Scientific Reports, 13(1): 7368.
18. Muhammad, W., Ahmad, M., and Ahmad, I., 2020. Pollination behavior of cotton crop and its management. Cotton Production and Uses: Agronomy, Crop Protection, and Postharvest Technologies, pp.163-175.
19. Naeem-Ullah, U., Ramzan, M., Bokhari, S.H.M., Saleem, A., Qayyum, M.A., Iqbal, N., Habib ur Rahman, M., Fahad, S., and Saeed, S., 2020. Insect pests of cotton crop and management under climate change scenarios. Environment, climate, plant and vegetation growth. 367-396.
20. Nagrale, D.T., Chaurasia, A., Kumar, S., Gawande, S.P., Hiremani, N.S., Shankar, R., Gokte-Narkhedkar, N., and Prasad, Y.G., 2023. PGPR: the treasure of multifarious beneficial microorganisms for nutrient mobilization, pest biocontrol and plant growth promotion in field crops. *World Journal of Microbiology and Biotechnology*, 39(4): 100.
21. Nehbandani, A., Filippi, P., Alizadeh-Dehkordi, P., Dadras, A., and Soltani, A., 2023. Use of interpretive machine learning and a crop model to investigate the impact of environment and management on soybean yield gap. Crop and Pasture Science, 75(1): NULL-NUL.
22. Noorhosseini, S. A., Soltani, A., Ajamnoroozi, H. 2018. Simulating peanut (*Arachis hypogaea* L.) growth and yield with the use of the Simple Simulation Model (SSM). Computers and Electronics in Agriculture. 145: 63-75.
23. Prasad, N.R., Patel, N.R. and Danodia, A., 2021. Crop yield prediction in cotton for regional level using random forest approach. Spatial information research, 29: 195-206.
24. Qin, A., Aluko, O.O., Liu, Z., Yang, J., Hu, M., Guan, L. and Sun, X., 2023. Improved cotton yield: Can we achieve this goal by regulating the coordination of source and sink?. Frontiers in Plant Science, 14: p.1136636.
25. Raes, D., Steduto, P., Hsiao, T. C., and Fereres, E. 2009. AquaCrop Reference Manual. FAO. Land and Water Division, Rome, Italy.
26. Rahemi Karizaki, A., Kouhkan, H., Feyzbakhsh, M. T., and Khaliliaqdam, N. 2023. Simulation of phonological development and growth duration in sorghum (*Sorghum bicolor* L.) using SSM-iSorghum Model (Case Study: Gorgan County). Journal of Agroecology, 14(4): 713-729. (in Persian with English Abstract).

27. Rahemi karizaki, A., Sanaie, K., Nakhzari Moghaddam, A., Golamalipour Alamdari, E., Pirdehghan, S. and Habibian, L. 2022. The effect of climate change pheological traits of chick pea (*Cicer arietinum* L.) under rainfeild and irrigated conditions Gonbad. *Crop production*, 15(1): 57-72. (In Persian).
28. Rasam, Q. Soultani, A. 2014. A simple model to simulate growth and yield of soybean. *Journal of plant production research*. 21(2): 87-105 (in Persian with English Abstract).
29. Santoyo, G., Urtis-Flores, C.A., Loeza-Lara, P.D., Orozco-Mosqueda, M.D.C., and Glick, B.R., 2021. Rhizosphere colonization determinants by plant growth-promoting rhizobacteria (PGPR). *Biology*, 10(6), p.475.
30. Sarode, A.D., Zanwar, P.R., Matre, Y.B., and Latpate, C.B., 2020. Seasonal incidence of major insect pests and their correlation with weather parameters in cotton. *Journal of Entomology and Zoology Studies*, 8(4), pp.1371-1374.
31. Silva, J.V. and Giller, K.E., 2020. Grand challenges for the 21st century: what crop models can and can't (yet) do. *The Journal of Agricultural Science*, 158(10), pp.794-805.
32. Soltani, A., Alimaghams, S.M., Nehbandani, A., Torabi, B., Zeinali, E., Dadras, A. Z., E., Ghassemi, S., Pourshirazi, S., Alasti, O., and Hosseini, R.S. 2020. SSM-iCrop2: A simple model for diverse crop species over large areas. *Agricultural Systems*, 182, p.102855.
33. Soltani, A., and Sinclair, T. 2015. A comparison of four wheat models with respect to robustness and transparency: Simulation in a temperate, sub-humid environment. *Field Crops Research*. 175: 37–46.
34. Soltani, A., and Sinclair, T. R. 2011. A simple model for chickpea development, growth and yield. *Field Crops Research*. 124: 252-260.
35. Soltani, A., and Sinclair, T. R. 2012. Modeling Physiology of Crop Development, Growth and Yield. CABI Publishing, Wallingford, UK.
36. Soltani, A., Maddah, V., and Sinclair, T. R. 2013. SSM-Wheat: A simulation model for wheat development, growth and yield. *International Journal of Plant Production*. 7: 711-740.
37. Sys, C., Van Ranst, E., Debaveye, J., and Beernaert, F. 1985. Land evaluation. State University of Ghent, International Training Centre for postgraduate soil scientists.
38. Tan, S., Wang, Q., Zhang, J., Chen, Y., Shan, Y., and Xu, D. 2018. Performance of AquaCrop model for cotton growth simulation under film-mulched drip irrigation in southern Xinjiang, China. *Agricultural Water Management*. 196: 99-113.
39. Wheeler, T.A., Bordovsky, J.P., Keeling, J.W., Keeling, W., and McCallister, D., 2020. The effects of tillage system and irrigation on *Verticillium* wilt and cotton yield. *Crop Protection*, 137, p.105305.
40. White, L. 2017. Effects of different soil management techniques on cotton fiber characteristics. *Journal of Sustainable Agriculture*, 8(2), 67-78
41. Williams, J. R., Jones, C. A., Kiniry, J. R., and Spanel, D. A. 1989. The EPIC crop growth model. *American Society of Agricultural and Biological Engineers*. 32: 497-510.
42. Xia, L., Zhang, R., Chen, L., Huang, Y., Xu, G., Wen, Y., and Yi, T., 2019. Monitor cotton budding using SVM and UAV images. *Applied Sciences*, 9(20), p.4312.
43. Xu, W., Chen, P., Zhan, Y., Chen, S., Zhang, L., and Lan, Y., 2021. Cotton yield estimation model based on machine learning using time series UAV remote sensing data. *International Journal of Applied Earth Observation and Geoinformation*, 104, p.102511.
44. Xu, W., Yang, W., Chen, S., Wu, C., Chen, P., and Lan, Y. 2020. Establishing a model to predict the single boll weight of cotton in northern Xinjiang by using high resolution UAV remote sensing data. *Computers and Electronics in Agriculture*, 179, p.105762.